#### (19) **日本国特許庁(JP)**

(51) Int. Cl.

# (12) 特 許 公 報(B2)

FL

(11)特許番号

特許第5655274号 (P5655274)

(45) 発行日 平成27年1月21日(2015.1.21)

(24) 登録日 平成26年12月5日(2014.12.5)

(51) 1111. 61.	1, 1		
CO1G 25/00	(2006.01) CO1G	25/00	
HO1L 21/8246	6 (2006.01) HO1L	27/10 4	4 4 4 C
HO1L 27/105	*.		6 5 1
HO1L 21/8242	T		1 O 1 Z
HO1L 27/108	•		1012
HUIL 21/100	(2006.01) HO1L	·	課金店の数 10 (A 10 五) 東郷五は破す
			請求項の数 10 (全 18 頁) 最終頁に続く
(21) 出願番号	特願2009-85819 (P2009-85819)	(73) 特許権	
(22) 出願日	平成21年3月31日 (2009.3.31)	(10) 14 H 1 HE	- 000000201 三菱マテリアル株式会社
(65) 公開番号	特開2010-235402 (P2010-235402A)	(= A) (I) <b>777</b> 1	東京都千代田区大手町一丁目3番2号
(43) 公開日	平成22年10月21日 (2010.10.21)	(74)代理人	
審査請求日	平成23年9月28日 (2011.9.28)		弁理士 須田 正義
		(72)発明者	藤井 順
			茨城県那珂市向山1002番地14 三菱
			マテリアル株式会社 中央研究所内
		(72) 発明者	野口 毅
			茨城県那珂市向山1002番地14 三菱
			マテリアル株式会社 中央研究所内
		(79) <b>2888</b>	
		(72) 発明者	桜井 英章
			茨城県那珂市向山1002番地14 三菱
			マテリアル株式会社 中央研究所内
			最終頁に続く
	·		·

(54) 【発明の名称】強誘電体薄膜形成用組成物、強誘電体薄膜の形成方法並びに該方法により形成された強誘電体薄膜

## (57)【特許請求の範囲】

## 【請求項1】

PZTの強誘電体薄膜を形成するための強誘電体薄膜形成用組成物において、

一般式:  $Pb_x(Zr_zTi_{(1-z)})O_3(式中0.9< x<1.3 x0< z<0.9)$ で示される複合金属酸化物 Aに、2・エチルヘキサン酸シリコン、2・エチル酪酸シリコン x シリコンテトラエトキシド、シリコンテトラ n・ブトキシド  $\underline{D}$  びテトラキス(アセチルアセトネート)シリコンからなる群より選ばれた 1種の S i 化合物からなる複合金属酸化物 B が混合した混合複合金属酸化物の形態をとる薄膜を形成するための液状組成物であり

前記液状組成物の外割で前記複合金属酸化物 B が 3 ~ 5 m o 1 %の割合で有機溶媒中に溶解している有機金属化合物溶液からなる

ことを特徴とする強誘電体薄膜形成用組成物。

#### 【請求項2】

複合金属酸化物 A 及び複合金属酸化物 B を構成するための原料が、有機基がその酸素又は窒素原子を介して金属元素と結合している化合物である請求項 1 記載の強誘電体薄膜形成用組成物。

## 【請求項3】

複合金属酸化物 A を構成するための原料が、金属アルコキシド、金属ジオール錯体、金属トリオール錯体、金属カルボン酸塩、金属 - ジケトネート錯体、金属 - ジケトエステル錯体、金属 - イミノケト錯体、及び金属アミノ錯体からなる群より選ばれた 1 種又

は2種以上である請求項2記載の強誘電体薄膜形成用組成物。

#### 【請求項4】

- ジケトン、 - ケトン酸、 - ケトエステル、オキシ酸、ジオール、トリオール、 高級カルボン酸、アルカノールアミン及び多価アミンからなる群より選ばれた1種又は2 種以上の安定化剤を、組成物中の金属合計量1モルに対して、0.2~3モルの割合で更 に含有する請求項1ないし3いずれか1項に記載の強誘電体薄膜形成用組成物。

#### 【請求項5】

有機溶媒が、カルボン酸、アルコール、エステル、ケトン類、エーテル類、シクロアルカン類、芳香族系及びテトラヒドロフランからなる群より選ばれた1種又は2種以上である請求項1ないし4いずれか1項に記載の強誘電体薄膜形成用組成物。

## 【請求項6】

有機溶媒が、プロピレングリコールを含有する請求項1ないし5いずれか1項に記載の 強誘電体薄膜形成用組成物。

## 【請求項7】

請求項1ないし6のいずれか1項に記載の強誘電体薄膜形成用組成物を耐熱性基板に塗布し、空気中、酸化雰囲気中又は含水蒸気雰囲気中で加熱する工程を1回又は所望の厚さの膜が得られるまで繰返し、少なくとも最終工程における加熱中或いは加熱後に該膜を結晶化温度以上で焼成することを特徴とする強誘電体薄膜の形成方法。

#### 【請求項8】

請求項7記載の方法により形成された強誘電体薄膜。

#### 【請求項9】

請求項8記載の強誘電体薄膜を有する薄膜コンデンサ、キャパシタ、IPD、DRAMメモリ用コンデンサ、積層コンデンサ、トランジスタのゲート絶縁体、不揮発性メモリ、 焦電型赤外線検出素子、圧電素子、電気光学素子、アクチュエータ、共振子、超音波モータ、又はLCノイズフィルタ素子の複合電子部品。

#### 【請求項10】

請求項9に記載する100MHz以上の周波数帯域に対応した、強誘電体薄膜を有する薄膜コンデンサ、キャパシタ、IPD、DRAMメモリ用コンデンサ、積層コンデンサ、トランジスタのゲート絶縁体、不揮発性メモリ、焦電型赤外線検出素子、圧電素子、電気光学素子、アクチュエータ、共振子、超音波モータ、又はLCノイズフィルタ素子の複合電子部品。

【発明の詳細な説明】

## 【技術分野】

#### [0001]

本発明は、低リーク電流密度、かつ、高絶縁耐圧の薄膜キャパシタ用途に適した強誘電体薄膜形成用組成物、強誘電体薄膜の形成方法並びに該方法により形成された強誘電体薄膜に関するものである。

#### 【背景技術】

#### [0002]

この種の強誘電体膜の製造方法として、各成分金属のアルコキシドや有機酸塩を極性溶媒に溶解してなる混合溶液を用い、金属基板に塗布、乾燥して、塗膜を形成し、結晶化温度以上の温度に加熱して焼成することにより、誘電体薄膜を成膜することが一般的に知られている(例えば、特許文献 1 参照。)。

#### [0003]

しかしながら、代表的な強誘電体であるPZT膜では、薄膜化して電圧を印加した場合 、リーク電流密度が高くなり、更には絶縁破壊に至ってしまうことが確認されている。

## [0004]

そこで、PZT膜などの強誘電体薄膜に微量元素を添加して、リーク特性を改善する試みが行われてきたが、未だ不十分であった(例えば、特許文献2,3参照。)。

#### [0005]

10

20

30

40

また、厚膜にしてリーク電流密度を減少させる試みが行われているが、この場合、静電容量が低下してしまうという問題を抱えている。

#### 【先行技術文献】

## 【特許文献】

#### [0006]

【特許文献 1 】特開昭 6 0 - 2 3 6 4 0 4 号公報(第 3 頁右下欄 1 1 行目~第 4 頁左下欄 1 0 行目、第 5 頁右上欄 1 0 行目~同頁左下欄 1 7 行目)

【特許文献2】特開平8-153854号公報(請求項1)

【特許文献3】特開2005-217219号公報(請求項5)

### 【発明の概要】

【発明が解決しようとする課題】

#### [0007]

形成した強誘電体薄膜の膜厚が十分でないとリーク電流密度が高く、絶縁破壊する可能性もあることから、キャパシタとしての性能を十分に発揮することができなかった。

## [0008]

また、膜厚を厚くしすぎると、十分な静電容量が得られないという問題点も抱えていた

#### [0009]

本発明の目的は、簡便な手法で、従来の強誘電体薄膜よりも低いリーク電流密度、かつ、高い絶縁耐圧が得られる、薄膜キャパシタ用途に適した強誘電体薄膜形成用組成物、強誘電体薄膜の形成方法並びに該方法により形成された強誘電体薄膜を提供することにある

#### 【課題を解決するための手段】

#### [0010]

#### [0011]

本発明の第2の観点は、第1の観点に基づく発明であって、更に複合金属酸化物A及び複合金属酸化物Bを構成するための原料が、有機基がその酸素又は窒素原子を介して金属元素と結合している化合物であることを特徴とする。

#### [0012]

本発明の第3の観点は、第2の観点に基づく発明であって、更に複合金属酸化物<u>Aを</u>構成するための原料が、金属アルコキシド、金属ジオール錯体、金属トリオール錯体、金属カルボン酸塩、金属 - ジケトネート錯体、金属 - ジケトエステル錯体、金属 - イミノケト錯体、及び金属アミノ錯体からなる群より選ばれた1種又は2種以上であることを特徴とする。

## [0013]

本発明の第4の観点は、第1ないし第3の観点に基づく発明であって、更に - ジケトン、 - ケトン酸、 - ケトエステル、オキシ酸、ジオール、トリオール、高級カルボン酸、アルカノールアミン及び多価アミンからなる群より選ばれた1種又は2種以上の安定化剤を、組成物中の金属合計量1モルに対して、0.2~3モルの割合で更に含有することを特徴とする。

## [0014]

本発明の第5の観点は、第1ないし第4の観点に基づく発明であって、更に有機溶媒が

10

20

30

40

、カルボン酸、アルコール、エステル、ケトン類、エーテル類、シクロアルカン類、芳香 族系及びテトラヒドロフランからなる群より選ばれた1種又は2種以上であることを特徴 とする。

## [0015]

本発明の第6の観点は、第1ないし第5の観点に基づく発明であって、更に有機溶媒が 、プロピレングリコールを含有することを特徴とする。

本発明の第7の観点は、第1ないし第6の観点に基づく強誘電体薄膜形成用組成物を耐 熱性基板に塗布し、空気中、酸化雰囲気中又は含水蒸気雰囲気中で加熱する工程を1回又 は所望の厚さの膜が得られるまで繰返し、少なくとも最終工程における加熱中或いは加熱 後に該膜を結晶化温度以上で焼成することを特徴とする強誘電体薄膜の形成方法である。

本発明の第8の観点は、第7観点に基づく方法により形成された強誘電体薄膜である。

#### [0020]

本発明の第9の観点は、第8の観点に基づく強誘電体薄膜を有する薄膜コンデンサ、キ ャパシタ、IPD(Integrated Passive Device)、DRAM メモリ用コンデンサ、積層コンデンサ、トランジスタのゲート絶縁体、不揮発性メモリ、 焦電型赤外線検出素子、圧電素子、電気光学素子、アクチュエータ、共振子、超音波モー タ、又はLCノイズフィルタ素子の複合電子部品である。

### [0021]

本発明の第10の観点は、第9の観点に基づく100MHz以上の周波数帯域に対応し た、強誘電体薄膜を有する薄膜コンデンサ、キャパシタ、IPD、DRAMメモリ用コン デンサ、積層コンデンサ、トランジスタのゲート絶縁体、不揮発性メモリ、焦電型赤外線 検出素子、圧電素子、電気光学素子、アクチュエータ、共振子、超音波モータ、又はLC ノイズフィルタ素子の複合電子部品である。

## 【発明の効果】

## [0022]

本発明の強誘電体薄膜形成用組成物は、一般式: Pb<sub>x</sub>(Zr<sub>z</sub>Ti<sub>(1-z)</sub>)O<sub>3</sub>(式中 0 . 9 < x < 1 . 3 、 0 < z < 0 . 9 ) で示される複合金属酸化物 A に、 2 ・エチルヘキサ ン酸シリコン、 2 - エチル酪酸シリコン、シリコンテトラエトキシド、シリコンテトラ n - ブトキシド及び及びテトラキス(アセチルアセトネート)シリコンからなる群より選ば れた1種のSi化合物からなる複合金属酸化物Bが混合した混合複合金属酸化物の形態を とるように、前記液状組成物の外割で前記複合金属酸化物Bが3~5mo1%の割合で有 機溶媒中に溶解させている。この組成物を用いて強誘電体薄膜を形成することにより、従 来の強誘電体薄膜よりも低いリーク電流密度、かつ、高い絶縁耐圧が得られる、薄膜キャ パシタ用途に適した強誘電体薄膜を簡便な手法で得ることができる、という利点がある。 従って、従来と同程度のリーク電流密度とする場合には、更なる薄膜化が可能となり、よ り高い比誘電率が得られる。また、使用する原材料を低減できるという効果も有する。

### 【図面の簡単な説明】

#### [0023]

【図1】実施例3で得られた薄膜のI・V特性図である。

【図2】実施例8で得られた薄膜のI-V特性図である。

【図3】実施例13で得られた薄膜のI-V特性図である。

【図4】実施例18で得られた薄膜のI-V特性図である。

【図5】実施例23で得られた薄膜のI-V特性図である。

【図6】比較例1で得られた薄膜のI・V特性図である。

【図7】比較例2で得られた薄膜のI・V特性図である。

【発明を実施するための形態】

#### [0024]

次に本発明を実施するための形態を説明する。

20

10

30

40

#### [0025]

本発明の強誘電体薄膜形成用組成物は、PZTO強誘電体薄膜を形成するための組成物である。この組成物を用いて形成される強誘電体薄膜は、-般式: $Pb_x(Zr_zTi_{(1-z_y)})O_3(式中0.9< x<1.3、0< z<0.9)$ で示される複合金属酸化物 A に、Siを含む複合金属酸化物 B が混合した混合複合金属酸化物の形態をとる。この組成物は、複合金属酸化物 A を構成するための原料と、複合金属酸化物 B を構成するための原料が上記一般式で示される金属原子比を与えるような割合となるように、有機溶媒中に溶解している有機金属化合物溶液からなる。

#### [0026]

複合金属酸化物 A 用原料は、P b 、Z r 、Ti 及びSiの各金属元素に、有機基がその酸素又は窒素原子を介して結合している化合物が好適である。例えば、金属アルコキシド、金属ジオール錯体、金属トリオール錯体、金属カルボン酸塩、金属・ジケトネート錯体、金属・ジケトエステル錯体、金属・イミノケト錯体、及び金属アミノ錯体からおる。群より選ばれた1種又は2種以上が例示される。特に好適な化合物は、金属アルコキシド、その部分加水分解物、有機酸塩である。このうち、P b 化合物、S i 化合物としては、酢酸塩(酢酸鉛)、2・エチルヘキサン酸シリコン、2・エチル酪酸シリコン(カーチン・ブロポキシド、シリコンテトラエトキシド、シリコンテトラー・ブトキシド、シリコンなどの金属・ジケトネート錯体が挙げられる。Ti 化合物としては、チタニウムテトラエトキシド、チタニウムジメトキシジケトネート錯体が挙げられる。Ti 化合物としては、チタニウムテトライソプロポキシド、チタニウムテトラブトキシド、チタニウムジメトキシジイソプロポキシドなどのアルコキシドが挙げられる。Zr 化合物としては、上記Ti 化分解を促進させるためにその部分加水分解物を使用しても良い。

#### [0027]

本発明の強誘電体薄膜形成用組成物を調製するには、これらの原料を所望の強誘電体薄膜組成に相当する比率で適当な溶媒に溶解して、塗布に適した濃度に調製する。

#### [0028]

BとAとのモル比B / A は、0 < B / A < 0 . 1 の範囲内となるように調整される。上記範囲内であれば、本発明の効果である低いリーク電流密度、かつ、高い絶縁耐圧を得ることができる。このうち、0 . 0 0 5 B / A 0 . 0 5 が特に好ましい。

#### [0029]

ここで用いる強誘電体薄膜形成用組成物の溶媒は、使用する原料に応じて適宜決定されるが、一般的には、カルボン酸、アルコール、エステル、ケトン類(例えば、アセトン、メチルエチルケトン)、エーテル類(例えば、ジメチルエーテル、ジエチルエーテル)、シクロアルカン類(例えば、シクロヘキサン、シクロヘキサノール)、芳香族系(例えば、ベンゼン、トルエン、キシレン)、その他テトラヒドロフランなど、或いはこれらの2種以上の混合溶媒を用いることができる。このうち、特に好ましくは、プロピレングリコールである。

## [0030]

カルボン酸としては、具体的には、n-酪酸、 - メチル酪酸、i-吉草酸、2-エチル酪酸、2,2-ジメチル酪酸、3,3-ジメチル酪酸、2,3-ジメチル酪酸、3-メチルペンタン酸、4-メチルペンタン酸、2-エチルペンタン酸、3-エチルペンタン酸、2,2-ジメチルペンタン酸、3,3-ジメチルペンタン酸、2,3-ジメチルペンタン酸、2,3-ジメチルペンタン酸、2-エチルヘキサン酸、3-エチルヘキサン酸を用いるのが好ましい。

#### [0031]

また、エステルとしては、酢酸エチル、酢酸プロピル、酢酸 n - ブチル、酢酸 s e c - ブチル、酢酸 t e r t - ブチル、酢酸イソブチル、酢酸 n - アミル、酢酸 s e c - アミル、酢酸 t e r t - アミル、酢酸イソアミルを用いるのが好ましく、アルコールとしては、1 - プロパノール、2 - プタノール、イソ - ブチルアルコール、1 - ペンタノール、2 - メチル - 2 - ペンタノール、2

10

20

30

40

- メトキシエタノールを用いるのが好適である。

#### [0032]

なお、強誘電体薄膜形成用組成物の有機金属化合物溶液中の有機金属化合物の合計濃度は、金属酸化物換算量で0.1~20質量%程度とすることが好ましい。

#### [0033]

この有機金属化合物溶液中には、必要に応じて安定化剤として、 - ジケトン類(例えば、アセチルアセトン、ヘプタフルオロブタノイルピバロイルメタン、ジピバロイルメタン、トリフルオロアセチルアセトン、ベンゾイルアセトン等)、 - ケトン酸類(例えば、アセト酢酸、プロピオニル酢酸、ベンゾイル酢酸等)、 - ケトエステル類(例えば、上記ケトン酸のメチル、プロピル、ブチル等の低級アルキルエステル類)、オキシ酸類(例えば、乳酸、グリコール酸、 - オキシ酪酸、サリチル酸等)、上記オキシ酸の低級アルキルエステル類、オキシケトン類(例えば、ジアセトンアルコール、アセトイン等)、ジオール、トリオール、高級カルボン酸、アルカノールアミン類(例えば、ジエタノールアミン、トリエタノールアミン、モノエタノールアミン)、多価アミン等を、(安定化剤分子数)/(金属原子数)で0.2~3程度添加しても良い。

#### [0034]

本発明では、上記調製された有機金属化合物溶液を濾過処理等によって、パーティクルを除去して、粒径 0 .5 μ m 以上(特に 0 .3 μ m 以上とりわけ 0 .2 μ m 以上)のパーティクルの個数が溶液 1 m L 当り 5 0 個 / m L 以下とするのが好ましい。

#### [0035]

有機金属化合物溶液中の粒径 0 . 5 μ m 以上のパーティクルの個数が 5 0 個 / m L を越えると、長期保存安定性が劣るものとなる。この有機金属化合物溶液中の粒径 0 . 5 μ m 以上のパーティクルの個数は少ない程好ましく、特に 3 0 個 / m L 以下であることが好ましい。

#### [0036]

上記パーティクル個数となるように、調製後の有機金属化合物溶液を処理する方法は特に限定されるものではないが、例えば、次のような方法が挙げられる。第1の方法としては、市販の0.2μm孔径のメンブランフィルターを使用し、シリンジで圧送する濾過法である。第2の方法としては、市販の0.05μm孔径のメンブランフィルターと加圧タンクを組み合せた加圧濾過法である。第3の方法としては、上記第2の方法で使用したフィルターと溶液循環槽を組み合せた循環濾過法である。

## [0037]

いずれの方法においても、溶液圧送圧力によって、フィルターによるパーティクル捕捉率が異なる。圧力が低いほど捕捉率が高くなることは一般的に知られており、特に、第 1 の方法、第 2 の方法について、粒径 0 . 5 μ m 以上のパーティクルの個数を 5 0 個以下とする条件を実現するためには、溶液を低圧で非常にゆっくりとフィルターに通すのが好ましい。

#### [0038]

本発明の強誘電体薄膜形成用組成物を用いることで<u>PZTの</u>複合金属酸化物Aに、Siを含む複合金属酸化物Bが混合した混合複合金属酸化物の形態をとる強誘電体薄膜を簡便に形成することができる。

#### [0039]

本発明の強誘電体薄膜形成用組成物を用いて、強誘電体薄膜を形成するには、上記組成物をスピンコート、ディップコート、LSMCD(Liquid Source Misted Chemical Deposition)法等の塗布法により耐熱性基板上に塗布し、乾燥(仮焼成)及び本焼成を行う。

#### [0040]

使用される耐熱性基板の具体例としては、基板表層部に、単結晶Si、多結晶Si,Pt,Pt(最上層)/Ti,Pt(最上層)/Ta,Ru,Ru〇 $_2$ ,Ru(最上層)/Ru 〇 $_2$ ,Ru〇 $_2$ (最上層)/Ru,Ir,IrО $_2$ ,Ir(最上層)/IrО $_2$ ,Pt(

10

20

30

40

最上層) / I r , P t (最上層) / I r O  $_2$  , S r R u O  $_3$ 又は(L a  $_x$  S r  $_{(1-x)}$ )C o O  $_3$ 等のペロブスカイト型導電性酸化物等を用いた基板が挙げられるが、これらに限定されるものではない。

#### [0041]

なお、1回の塗布では、所望の膜厚が得られない場合には、塗布、乾燥の工程を複数回繰返し行った後、本焼成を行う。ここで、所望の膜厚とは、本焼成後に得られる強誘電体薄膜の厚さをいい、高容量密度の薄膜キャパシタ用途の場合、本焼成後の強誘電体薄膜の膜厚が50~500nmの範囲である。

#### [0042]

また、仮焼成は、溶媒を除去するとともに有機金属化合物を熱分解又は加水分解して複合酸化物に転化させるために行うことから、空気中、酸化雰囲気中、又は含水蒸気雰囲気中で行う。空気中での加熱でも、加水分解に必要な水分は空気中の湿気により十分に確保される。この加熱は、溶媒の除去のための低温加熱と、有機金属化合物の分解のための高温加熱の2段階で実施しても良い。

#### [0043]

本焼成は、仮焼成で得られた薄膜を結晶化温度以上の温度で焼成して結晶化させるための工程であり、これにより強誘電体薄膜が得られる。この結晶化工程の焼成雰囲気はO<sub>2</sub>、N<sub>2</sub>、Ar、N<sub>2</sub>O又はH<sub>2</sub>等或いはこれらの混合ガス等が好適である。

#### [0044]

仮焼成は、150~550 で5~10分間程度行われ、本焼成は450~800 で1~60分間程度行われる。本焼成は、急速加熱処理(RTA処理)で行っても良い。RTA処理で本焼成する場合、その昇温速度は10~100 / 秒が好ましい。

#### [0045]

このようにして形成された本発明の強誘電体薄膜は、従来の強誘電体薄膜よりも低いリーク電流密度、かつ、高い絶縁耐圧が得られるため、薄膜キャパシタ用途に好適である。従って、従来の強誘電体薄膜と同程度のリーク電流密度とする場合には、更なる薄膜化が可能となり、より高い容量密度が得られ、キャパシタとしての基本的特性に優れる。また、薄膜化することによって、原材料の使用を低減することができるという別の利点も有する。また、本発明の強誘電体薄膜は、IPDとしての基本的特性にも優れる。

## [0046]

また、本発明の強誘電体薄膜は、薄膜コンデンサ、キャパシタ、IPD、DRAMメモリ用コンデンサ、積層コンデンサ、トランジスタのゲート絶縁体、不揮発性メモリ、焦電型赤外線検出素子、圧電素子、電気光学素子、アクチュエータ、共振子、超音波モータ、又はLCノイズフィルタ素子の複合電子部品における構成材料として使用することができる。このうち特に100MHz以上の周波数帯域に対応したものに使用することもできる

## 【実施例】

#### [0047]

次に本発明の実施例<u>と参考例</u>を比較例とともに詳しく説明する。<u>以下に示す実施例1~</u>9、実施例21~35、実施例46~60、実施例71~75は、実施例ではなく参考例である。

## [0048]

## < 実施例1~5>

先ず、反応容器にジルコニウムテトラn - ブトキシドと安定化剤としてアセチルアセトンを添加し、窒素雰囲気下、150 の温度で還流した。これにチタンテトライソプロポキシドと安定化剤としてアセチルアセトンを添加し、窒素雰囲気下、150 の温度で還流した。次いで、これに酢酸鉛3水和物と溶媒としてプロピレングリコールを添加し、窒素雰囲気下、150 の温度で還流した。その後、150 で減圧蒸留して副生成物を除去し、更にプロピレングリコールを添加し、濃度調整することで酸化物換算で30質量%濃度の金属化合物を含有する液を得た。更に、希釈アルコールを添加することで酸化物換

10

20

30

40

算で各金属比が P b / Z r / T i = 1 1 0 / 5 2 / 4 8 の 1 0 質量 % 濃度の金属化合物を含有するゾルゲル液を得た。

#### [0049]

次に、ゾルゲル液を 5 等分し、これらのゾルゲル液に外割で 0 . 5 m o 1 % の各種シリコン化合物(2 - エチルヘキサン酸シリコン、2 - エチル酪酸シリコン、シリコンテトラエトキシド、シリコンテトラ n - ブトキシド、テトラキス(アセチルアセトネート)シリコン)をそれぞれ添加することにより、5 種類の薄膜形成用溶液を得た。

#### [0050]

これら 5 種類の薄膜形成用溶液を用いて、下記方法により C S D 法による薄膜の形成を行った。即ち、各々の溶液をスピンコート法により 5 0 0 r p m で 3 秒間、その後 3 0 0 0 r p m で 1 5 秒間の条件で P t 薄膜を表面にスパッタリング法にて形成した 6 インチシリコン基板 ( P t / T i O  $_2$  / S i O  $_2$  / S i ( 1 0 0 ) 基板 ) 上に塗布した。続いて、ホットプレートを用い、 3 5 0 で 5 分間加熱して仮焼成を行った。この塗布、仮焼成の工程を 6 回繰返した後、 1 0 0 %酸素雰囲気中で 7 0 0 、 1 分間 R T A (急速加熱処理装置)で焼成して膜厚 2 7 0 n m の強誘電体薄膜を形成した。

#### [0051]

< 実施例 6 ~ 1 0 >

ゾルゲル液に外割で1.0mol%の各種シリコン化合物を添加して薄膜形成用溶液とした以外は、実施例1~5と同様にして基板上に強誘電体薄膜を形成した。

#### [0052]

< 実施例11~15>

ゾルゲル液に外割で3.0mo1%の各種シリコン化合物を添加して薄膜形成用溶液とした以外は、実施例1~5と同様にして基板上に強誘電体薄膜を形成した。

#### [0053]

< 実施例 1 6 ~ 2 0 >

ゾルゲル液に外割で 5 . 0 m o 1 % の各種シリコン化合物を添加して薄膜形成用溶液とした以外は、実施例 1 ~ 5 と同様にして基板上に強誘電体薄膜を形成した。

#### [0054]

< 実施例 2 1 ~ 2 5 >

先ず、反応容器にジルコニウムテトラn - ブトキシドと安定化剤としてアセチルアセトンを添加し、窒素雰囲気下、150 の温度で還流した。これにチタンテトライソプロポキシドと安定化剤としてアセチルアセトンを添加し、窒素雰囲気下、150 の温度で還流した。次いで、これに酢酸鉛3水和物及び酢酸ランタン1.5水和物と溶媒としてプロピレングリコールを添加し、窒素雰囲気下、150 の温度で還流した。その後、150で減圧蒸留して副生成物を除去し、更にプロピレングリコールを添加し、濃度調整することで酸化物換算で30質量%濃度の金属化合物を含有する液を得た。更に、希釈アルコールを添加することで酸化物換算で各金属比がPb/La/Zr/Ti=110/3/52/48の10質量%濃度の金属化合物を含有するゾルゲル液を得た。

#### [0055]

次に、ゾルゲル液を 5 等分し、これらのゾルゲル液に外割で 0 . 5 m o 1 % の各種シリコン化合物 (2 - エチルヘキサン酸シリコン、2 - エチル酪酸シリコン、シリコンテトラエトキシド、シリコンテトラ n - プトキシド、テトラキス (アセチルアセトネート)シリコン)をそれぞれ添加することにより、5 種類の薄膜形成用溶液を得た。

## [0056]

これら 5 種類の薄膜形成用溶液を用いて、下記方法により C S D 法による薄膜の形成を行った。即ち、各々の溶液をスピンコート法により 5 0 0 r p m で 3 秒間、その後 3 0 0 0 r p m で 1 5 秒間の条件で P t 薄膜を表面にスパッタリング法にて形成した 6 インチシリコン基板( P t / T i O  $_2$  / S i O  $_2$  / S i ( 1 0 0 ) 基板)上に塗布した。続いて、ホットプレートを用い、 3 5 0 で 5 分間加熱して仮焼成を行った。この塗布、仮焼成の工程を 6 回繰返した後、 1 0 0 % 酸素雰囲気中で 7 0 0 、 1 分間 R T A (急速加熱処理装

10

20

30

40

置)で焼成して膜厚270nmの強誘電体薄膜を形成した。

#### [0057]

< 比較例 1 >

ゾルゲル液にシリコン化合物を添加せず、薄膜形成用溶液とした以外は、実施例1~5 と同様にして基板上に強誘電体薄膜を形成した。

#### [0058]

< 比較例 2 >

ゾルゲル液にシリコン化合物を添加せず、薄膜形成用溶液とした以外は、実施例21~ 25と同様にして基板上に強誘電体薄膜を形成した。

### [0059]

< 実施例 2 6 ~ 3 0 >

先ず、反応容器にジルコニウムテトラn - ブトキシドと安定化剤としてジエタノールア ミンを添加し、窒素雰囲気下、150 の温度で還流した。これにチタンテトライソプロ ポキシドと安定化剤としてジェタノールアミンを添加し、窒素雰囲気下、150 の温度 で還流した。次いで、これに酢酸鉛3水和物と溶媒としてプロピレングリコールを添加し 、窒素雰囲気下、150 の温度で還流した。その後、150 で減圧蒸留して副生成物 を除去し、更にプロピレングリコールを添加し、濃度調整することで酸化物換算で30質 量%濃度の金属化合物を含有する液を得た。更に、希釈アルコールを添加することで酸化 物換算で各金属比が P b / Z r / T i = 1 1 0 / 5 2 / 4 8 の 1 0 質量%濃度の金属化合 物を含有するゾルゲル液を得た。

#### [0060]

次に、ゾルゲル液を5等分し、これらのゾルゲル液に外割で0.5mo1%の各種シリ コン化合物(2-エチルヘキサン酸シリコン、2-エチル酪酸シリコン、シリコンテトラ エトキシド、シリコンテトラn‐ブトキシド、テトラキス(アセチルアセトネート)シリ コン)をそれぞれ添加することにより、5種類の薄膜形成用溶液を得た。

#### [0061]

これら5種類の薄膜形成用溶液を用いて、下記方法によりCSD法による薄膜の形成を 行った。即ち、各々の溶液をスピンコート法により500rpmで3秒間、その後300 0 r p m で 1 5 秒間の条件で P t 薄膜を表面にスパッタリング法にて形成した 6 インチシ リコン基板(Pt/TiO。/SiO。/Si(100)基板)上に塗布した。続いて、ホ ットプレートを用い、350 で5分間加熱して仮焼成を行った。この塗布、仮焼成の工 程を 6 回繰返した後、 1 0 0 % 酸素雰囲気中で 7 0 0 、 1 分間RTA(急速加熱処理装 置)で焼成して膜厚270nmの強誘電体薄膜を形成した。

## [0062]

< 実施例31~35>

ゾルゲル液に外割で1.0mo1%の各種シリコン化合物を添加して薄膜形成用溶液と した以外は、実施例26~30と同様にして基板上に強誘電体薄膜を形成した。

#### [0063]

< 実施例36~40>

40 ゾルゲル液に外割で3.0mo1%の各種シリコン化合物を添加して薄膜形成用溶液と した以外は、実施例26~30と同様にして基板上に強誘電体薄膜を形成した。

#### [0064]

< 実施例41~45>

ゾルゲル液に外割で5.0mol%の各種シリコン化合物を添加して薄膜形成用溶液と した以外は、実施例26~30と同様にして基板上に強誘電体薄膜を形成した。

## [0065]

< 実施例46~50>

先ず、反応容器にジルコニウムテトラ n - ブトキシドと安定化剤としてジエタノールア ミンを添加し、窒素雰囲気下、150 の温度で還流した。これにチタンテトライソプロ ポキシドと安定化剤としてジエタノールアミンを添加し、窒素雰囲気下、150 の温度 10

20

30

10

20

40

50

で還流した。次いで、これに酢酸鉛3水和物及び酢酸ランタン1.5水和物と溶媒としてプロピレングリコールを添加し、窒素雰囲気下、150 の温度で還流した。その後、150 で減圧蒸留して副生成物を除去し、更にプロピレングリコールを添加し、濃度調整することで酸化物換算で30質量%濃度の金属化合物を含有する液を得た。更に、希釈アルコールを添加することで酸化物換算で各金属比がPb/La/Zr/Ti=110/3/52/48の10質量%濃度の金属化合物を含有するゾルゲル液を得た。

#### [0066]

次に、ゾルゲル液を 5 等分し、これらのゾルゲル液に外割で 0 . 5 m o 1 % の各種シリコン化合物(2 - エチルヘキサン酸シリコン、2 - エチル酪酸シリコン、シリコンテトラエトキシド、シリコンテトラ n - プトキシド、テトラキス(アセチルアセトネート)シリコン)をそれぞれ添加することにより、5 種類の薄膜形成用溶液を得た。

[0067]

これら 5 種類の薄膜形成用溶液を用いて、下記方法により C S D 法による薄膜の形成を行った。即ち、各々の溶液をスピンコート法により 5 0 0 r p m で 3 秒間、その後 3 0 0 0 r p m で 1 5 秒間の条件で P t 薄膜を表面にスパッタリング法にて形成した 6 インチシリコン基板( P t / T i O  $_2$  / S i O  $_2$  / S i ( 1 0 0 ) 基板)上に塗布した。続いて、ホットプレートを用い、 3 5 0 で 5 分間加熱して仮焼成を行った。この塗布、仮焼成の工程を 6 回繰返した後、 1 0 0 %酸素雰囲気中で 7 0 0 、 1 分間 R T A (急速加熱処理装置)で焼成して膜厚 2 7 0 n m の強誘電体薄膜を形成した。

[0068]

< 比較例3 >

ゾルゲル液にシリコン化合物を添加せず、薄膜形成用溶液とした以外は、実施例26~30と同様にして基板上に強誘電体薄膜を形成した。

[0069]

<比較例4>

ゾルゲル液にシリコン化合物を添加せず、薄膜形成用溶液とした以外は、実施例46~50と同様にして基板上に強誘電体薄膜を形成した。

[0070]

< 実施例 5 1 ~ 5 5 >

先ず、反応容器にジルコニウムテトラn - ブトキシドと安定化剤としてアセチルアセトンを添加し、窒素雰囲気下、150 の温度で還流した。これにチタンテトライソプロポキシドと安定化剤としてアセチルアセトンを添加し、窒素雰囲気下、150 の温度で還流した。次いで、これに酢酸鉛3水和物と溶媒としてプロピレングリコールを添加し、窒素雰囲気下、150 の温度で還流した。その後、150 で減圧蒸留して副生成物を除去し、更にプロピレングリコールを添加し、濃度調整することで酸化物換算で30質量%濃度の金属化合物を含有する液を得た。更に、希釈アルコールを添加することで酸化物換算で各金属比がPb/Zr/Ti=110/52/48の10質量%濃度の金属化合物を含有するゾルゲル液を得た。

[0071]

次に、ゾルゲル液を5等分し、これらのゾルゲル液に外割で0.5 mo1%の各種シリコン化合物(2-エチルヘキサン酸シリコン、2-エチル酪酸シリコン、シリコンテトラエトキシド、シリコンテトラn-プトキシド、テトラキス(アセチルアセトネート)シリコン)をそれぞれ添加することにより、5種類の薄膜形成用溶液を得た。

[0072]

これら 5 種類の薄膜形成用溶液を用いて、下記方法により C S D 法による薄膜の形成を行った。即ち、各々の溶液をスピンコート法により 5 0 0 r p m で 3 秒間、その後 3 0 0 0 r p m で 1 5 秒間の条件で P t 薄膜を表面にスパッタリング法にて形成した 6 インチシリコン基板( P t / T i O  $_2$  / S i O  $_2$  / S i ( 1 0 0 ) 基板)上に塗布した。続いて、ホットプレートを用い、 3 5 0 で 5 分間加熱して仮焼成を行った。この塗布、仮焼成の工程を 6 回繰返した後、乾燥空気雰囲気中で 7 0 0 、 1 分間 R T A (急速加熱処理装置)

で焼成して膜厚270nmの強誘電体薄膜を形成した。

#### [0073]

< 実施例 5 6 ~ 6 0 >

ゾルゲル液に外割で1.0mol%の各種シリコン化合物を添加して薄膜形成用溶液とした以外は、実施例51~55と同様にして基板上に強誘電体薄膜を形成した。

#### [0074]

< 実施例 6 1 ~ 6 5 >

ゾルゲル液に外割で3.0mo1%の各種シリコン化合物を添加して薄膜形成用溶液とした以外は、実施例51~55と同様にして基板上に強誘電体薄膜を形成した。

## [0075]

< 実施例 6 6 ~ 7 0 >

ゾルゲル液に外割で5.0mo1%の各種シリコン化合物を添加して薄膜形成用溶液とした以外は、実施例51~55と同様にして基板上に強誘電体薄膜を形成した。

## [0076]

< 実施例71~75>

先ず、反応容器にジルコニウムテトラn・ブトキシドと安定化剤としてアセチルアセトンを添加し、窒素雰囲気下、150 の温度で還流した。これにチタンテトライソプロポキシドと安定化剤としてアセチルアセトンを添加し、窒素雰囲気下、150 の温度で還流した。次いで、これに酢酸鉛3水和物及び酢酸ランタン1.5水和物と溶媒としてプロピレングリコールを添加し、窒素雰囲気下、150 の温度で還流した。その後、150で減圧蒸留して副生成物を除去し、更にプロピレングリコールを添加し、濃度調整することで酸化物換算で30質量%濃度の金属化合物を含有する液を得た。更に、希釈アルコールを添加することで酸化物換算で各金属比がPb/La/Zr/Ti=110/3/52/48の10質量%濃度の金属化合物を含有するゾルゲル液を得た。

## [0077]

次に、ゾルゲル液を5等分し、これらのゾルゲル液に外割で0.5mo1%の各種シリコン化合物(2-エチルヘキサン酸シリコン、2-エチル酪酸シリコン、シリコンテトラエトキシド、シリコンテトラn-ブトキシド、テトラキス(アセチルアセトネート)シリコン)をそれぞれ添加することにより、5種類の薄膜形成用溶液を得た。

## [0078]

これら 5 種類の薄膜形成用溶液を用いて、下記方法により C S D 法による薄膜の形成を行った。即ち、各々の溶液をスピンコート法により 5 0 0 r p m で 3 秒間、その後 3 0 0 0 r p m で 1 5 秒間の条件で P t 薄膜を表面にスパッタリング法にて形成した 6 インチシリコン基板 ( P t / T i O  $_2$  / S i O  $_2$  / S i ( 1 0 0 ) 基板 ) 上に塗布した。続いて、ホットプレートを用い、 3 5 0 で 5 分間加熱して仮焼成を行った。この塗布、仮焼成の工程を 6 回繰返した後、乾燥空気雰囲気中で 7 0 0 、 1 分間 R T A (急速加熱処理装置)で焼成して膜厚 2 7 0 n m の強誘電体薄膜を形成した。

#### [0079]

< 比較例5 >

ゾルゲル液にシリコン化合物を添加せず、薄膜形成用溶液とした以外は、実施例 5 1 ~ 40 5 5 と同様にして基板上に強誘電体薄膜を形成した。

#### [0800]

<比較例6>

ゾルゲル液にシリコン化合物を添加せず、薄膜形成用溶液とした以外は、実施例71~75と同様にして基板上に強誘電体薄膜を形成した。

## [0081]

<比較評価>

実施例1~75及び比較例1~6で得られた強誘電体薄膜を形成した基板について、メタルマスクを用い、表面に約250μm のPt上部電極をスパッタリング法にて作製し、強誘電体薄膜直下のPt下部電極間にて直流電圧を印加し、I-V特性(リーク電流密

10

20

30

[0082]

【表1】

	添加元素種、添加Si化合		添加 焼成	リーク電	絶縁			
	添加量(mol%)	物形態	安定化剤	雰囲気	at 5V	at 20V	at 50V	耐圧
実施例 1	PZT + Si 0.5%	2ーエチルヘキサン酸塩	アセチルアセトン	酸素	$6.12 \times 10^{-7}$	3.10 × 10 <sup>-6</sup>	2.01 × 10 <sup>-5</sup>	77.0
実施例 2	PZT + Si 0.5%	2-エチル酪酸塩	アセチルアセトン	酸素	$5.84 \times 10^{-7}$	2.86 × 10 <sup>-6</sup>	1.86 × 10 <sup>-5</sup>	80.0
実施例3	PZT + Si 0.5%	エトキシド	アセチルアセトン	酸素	$5.77 \times 10^{-7}$	2.99 × 10 <sup>-6</sup>	1.97 × 10 <sup>-5</sup>	78.0
実施例 4	PZT + Si 0.5%	nーブトキシド	アセチルアセトン	酸素	5.97 × 10 <sup>-7</sup>	2.94 × 10 <sup>-6</sup>	2.05 × 10 <sup>-5</sup>	79.5
実施例 5	PZT + Si 0.5%	アセチルアセトネート	アセチルアセトン	酸素	6.01 × 10 <sup>-7</sup>	2.79 × 10 <sup>-6</sup>	1.96 × 10 <sup>-5</sup>	78.0
実施例 6	PZT + Si 1%	2-エチルヘキサン酸塩	アセチルアセトン	酸素	3.53 × 10 <sup>-7</sup>	$6.25 \times 10^{-7}$	3.32 × 10 <sup>-6</sup>	88.0
実施例 7	PZT + Si 1%	2-エチル酪酸塩	アセチルアセトン	酸素	4.01 × 10 <sup>-7</sup>	6.63 × 10 <sup>-7</sup>	3.36 × 10 <sup>-6</sup>	89.0
実施例8	PZT + Si 1%	エトキシド	アセチルアセトン	酸素	3.74 × 10 <sup>-7</sup>	6.50 × 10 <sup>-7</sup>	3.43 × 10 <sup>-6</sup>	87.5
実施例 9	PZT + Si 1%	nーブトキシド	アセチルアセトン	酸素	3.82 × 10 <sup>-7</sup>	6.33 × 10 <sup>-7</sup>	3.46 × 10 <sup>-6</sup>	86.5
実施例10	PZT + Si 1%	アセチルアセトネート	アセチルアセトン	酸素	$3.69 \times 10^{-7}$	6.84 × 10 <sup>-7</sup>	3.51 × 10 <sup>-6</sup>	86.5
実施例11	PZT + Si 3%	2ーエチルヘキサン酸塩	アセチルアセトン	酸素	2.33 × 10 <sup>-7</sup>	4.31 × 10 <sup>-7</sup>	1.35 × 10 <sup>-6</sup>	94.0
実施例12	PZT + Si 3%	2-エチル酪酸塩	アセチルアセトン	酸素	2.62 × 10 <sup>-7</sup>	4.03 × 10 <sup>-7</sup>	1.40 × 10 <sup>-6</sup>	97.5
実施例13	PZT + Si 3%	エトキシド	アセチルアセトン	酸素	2.49 × 10 <sup>-7</sup>	4.16 × 10 <sup>-7</sup>	1.31 × 10 <sup>-6</sup>	95.0
実施例14	PZT + Si 3%	nーブトキシド	アセチルアセトン	酸素	$2.47 \times 10^{-7}$	4.18 × 10 <sup>-7</sup>	1.50 × 10 <sup>-6</sup>	95.5
実施例15	PZT + Si 3%	アセチルアセトネート	アセチルアセトン	酸素	2.41 × 10 <sup>-7</sup>	4.08 × 10 <sup>-7</sup>	1.46 × 10 <sup>-6</sup>	95.0
実施例16	PZT + Si 5%	2ーエチルヘキサン酸塩	アセチルアセトン	酸素	2.46 × 10 <sup>-7</sup>	2.84 × 10 <sup>-7</sup>	$7.32 \times 10^{-7}$	>99.5
実施例17	PZT + Si 5%	2-エチル酪酸塩	アセチルアセトン	酸素	2.61 × 10 <sup>-7</sup>	2.74 × 10 <sup>-7</sup>	7.15 × 10 <sup>-7</sup>	>99.5
実施例18	PZT + Si 5%	エトキシド	アセチルアセトン	酸素	$2.52 \times 10^{-7}$	$2.79 \times 10^{-7}$	7.22 × 10 <sup>-7</sup>	>99.5
実施例19	PZT + Si 5%	nーブトキシド	アセチルアセトン	酸素	2.42 × 10 <sup>-7</sup>	$2.75 \times 10^{-7}$	7.32 × 10 <sup>-7</sup>	>99.5
実施例20	PZT + Si 5%	アセチルアセトネート	アセチルアセトン	酸素	2.51 × 10 <sup>-7</sup>	2.86 × 10 <sup>-7</sup>	7.31 × 10 <sup>-7</sup>	>99.5
実施例21	PLZT + Si 0.5%	2ーエチルヘキサン酸塩	アセチルアセトン	酸素	7.21 × 10 <sup>-8</sup>	$2.05 \times 10^{-7}$	1.25 × 10 <sup>-6</sup>	84.0
実施例22	PLZT + Si 0.5%	2-エチル酪酸塩	アセチルアセトン	酸素	7.47 × 10 <sup>-8</sup>	2.28 × 10 <sup>-7</sup>	1.30 × 10 <sup>-6</sup>	85.5
実施例23	PLZT + Si 0.5%	エトキシド	アセチルアセトン	酸素	7.34 × 10 <sup>-8</sup>	$2.15 \times 10^{-7}$	1.20 × 10 <sup>-6</sup>	83.5
実施例24	PLZT + Si 0.5%	nーブトキシド	アセチルアセトン	酸素	7.38 × 10 <sup>-8</sup>	2.20 × 10 <sup>-7</sup>	1.25 × 10 <sup>-6</sup>	84.0
実施例25	PLZT + Si 0.5%	アセチルアセトネート	アセチルアセトン	酸素	7.29 × 10 <sup>-8</sup>	$2.19 \times 10^{-7}$	1.14 × 10 <sup>-6</sup>	84.0
比較例 1	Non dope PZT(110/52/48)	_	アセチルアセトン	酸素	8.08 × 10 <sup>-7</sup>	1.00 × 10 <sup>-5</sup>	2.06 × 10 <sup>-4</sup>	70.0
比較例 2	Non dope PLZT(110/3/52/48)	_	アセチルアセトン	酸素	9.57 × 10 <sup>-8</sup>	4.73 × 10 <sup>-7</sup>	6.43 × 10 <sup>-6</sup>	73.5

10

20

30

# 【 0 0 8 3 】 【表 2 】

	添加元素種、 添加Si化合		添加 焼成	リーク電	絶縁			
	添加量(mol%)	物形態	安定化剤	雰囲気	at 5V	at 20V	at 50V	耐圧 (V)
実施例26	PZT + Si 0.5%	2ーエチルヘキサン酸塩	ジェタノールアミン	酸素	$6.03 \times 10^{-7}$	2.99 × 10 <sup>-6</sup>	1.98 × 10 <sup>-5</sup>	78.5
実施例27	PZT + Si 0.5%	2一エチル酪酸塩	ジェタノールアミン	酸素	$5.73 \times 10^{-7}$	2.95 × 10 <sup>-6</sup>	1.95 × 10 <sup>-5</sup>	79.5
実施例28	PZT + Si 0.5%	エトキシド	ジェタノールアミン	酸素	$5.93 \times 10^{-7}$	$3.05 \times 10^{-6}$	2.00 × 10 <sup>-5</sup>	79.5
実施例29	PZT + Si 0.5%	nーブトキシド	ジエタノールアミン	酸素	$5.72 \times 10^{-7}$	$2.85 \times 10^{-6}$	1.90 × 10 <sup>-5</sup>	80.0
実施例30	PZT + Si 0.5%	アセチルアセトネート	ジェタノールアミン	酸素	$5.83 \times 10^{-7}$	$2.88 \times 10^{-6}$	2.03 × 10 <sup>-5</sup>	80.0
実施例31	PZT + Si 1%	2ーエチルヘキサン酸塩	ジェタノールアミン	酸素	$3.93 \times 10^{-7}$	$6.60 \times 10^{-7}$	3.61 × 10 <sup>-6</sup>	88.0
実施例32	PZT + Si 1%	2一エチル酪酸塩	ジェタノールアミン	酸素	$3.62 \times 10^{-7}$	$6.71 \times 10^{-7}$	3.41 × 10 <sup>-6</sup>	87.5
実施例33	PZT + Si 1%	エトキシド	ジェタノールアミン	酸素	$3.71 \times 10^{-7}$	$6.55 \times 10^{-7}$	3.48 × 10 <sup>-6</sup>	87.0
実施例34	PZT + Si 1%	nーブトキシド	ジェタノールアミン	酸素	$3.91 \times 10^{-7}$	$6.61 \times 10^{-7}$	$3.50 \times 10^{-6}$	88.0
実施例35	PZT + Si 1%	アセチルアセトネート	ジェタノールアミン	酸素	$3.83 \times 10^{-7}$	$6.39 \times 10^{-7}$	$3.35 \times 10^{-6}$	88.5
実施例36	PZT + Si 3%	2-エチルヘキサン酸塩	ジェタノールアミン	酸素	$2.41 \times 10^{-7}$	4.25 × 10 <sup>-7</sup>	1.31 × 10 <sup>-6</sup>	96.5
実施例37	PZT + Si 3%	2一エチル酪酸塩	ジェタノールアミン	酸素	$2.63 \times 10^{-7}$	$4.35 \times 10^{-7}$	1.28 × 10 <sup>-6</sup>	96.0
実施例38	PZT + Si 3%	エトキシド	ジェタノールアミン	酸素	$2.48 \times 10^{-7}$	$4.12 \times 10^{-7}$	1.35 × 10 <sup>-6</sup>	96.0
実施例39	PZT + Si 3%	nーブトキシド	ジェタノールアミン	酸素	2.61 × 10 <sup>-7</sup>	$4.23 \times 10^{-7}$	1.41 × 10 <sup>-6</sup>	95.5
実施例40	PZT + Si 3%	アセチルアセトネート	ジェタノールアミン	酸素	$2.35 \times 10^{-7}$	$4.08 \times 10^{-7}$	$1.25 \times 10^{-6}$	97.0
実施例41	PZT + Si 5%	2-エチルヘキサン酸塩	ジェタノールアミン	酸素	$2.41 \times 10^{-7}$	$2.65 \times 10^{-7}$	$7.31 \times 10^{-7}$	>99.5
実施例42	PZT + Si 5%	2一エチル酪酸塩	ジェタノールアミン	酸素	2.48 × 10 <sup>-7</sup>	$2.75 \times 10^{-7}$	$7.22 \times 10^{-7}$	>99.5
実施例43	PZT + Si 5%	エトキシド	ジェタノールアミン	酸素	$2.37 \times 10^{-7}$	$2.77 \times 10^{-7}$	$7.20 \times 10^{-7}$	>99.5
実施例44	PZT + Si 5%	nーブトキシド	ジェタノールアミン	酸素	$2.25 \times 10^{-7}$	$2.69 \times 10^{-7}$	$7.40 \times 10^{-7}$	>99.5
実施例45	PZT + Si 5%	アセチルアセトネート	ジェタノールアミン	酸素	2.31 × 10 <sup>-7</sup>	$2.81 \times 10^{-7}$	$7.25 \times 10^{-7}$	>99.5
実施例46	PLZT + Si 0.5%	2ーエチルヘキサン酸塩	ジェタノールアミン	酸素	7.38 × 10 <sup>-8</sup>	$2.10 \times 10^{-7}$	1.21 × 10 <sup>-6</sup>	84.5
実施例47	PLZT + Si 0.5%	2-エチル酪酸塩	ジエタノールアミン	酸素	7.21 × 10 <sup>-8</sup>	$2.31 \times 10^{-7}$	1.13 × 10 <sup>-6</sup>	85.0
実施例48	PLZT + Si 0.5%	エトキシド	ジェタノールアミン	酸素	7.35 × 10 <sup>-8</sup>	$2.25 \times 10^{-7}$	1.18 × 10 <sup>-6</sup>	85.0
実施例49	PLZT + Si 0.5%	nーブトキシド	ジェタノールアミン	酸素	7.50 × 10 <sup>-8</sup>	$2.23 \times 10^{-7}$	1.25 × 10 <sup>-6</sup>	84.5
実施例50	PLZT + Si 0.5%	アセチルアセトネート	ジェタノールアミン	酸素	7.43 × 10 <sup>-8</sup>	$2.18 \times 10^{-7}$	$1.23 \times 10^{-6}$	84.0
比較例3	Non dope PZT(110/52/48)	_	ジェタノールアミン	酸素	8.21 × 10 <sup>-7</sup>	1.03 × 10 <sup>-5</sup>	2.12 × 10 <sup>-4</sup>	70.5
比較例 4	Non dope PLZT(110/3/52/48)		ジェタノールアミン	酸素	1.02 × 10 <sup>-7</sup>	4.63 × 10 <sup>-7</sup>	6.51 × 10 <sup>-6</sup>	72.0

[0084]

10

20

30

## 【表3】

	添加元素種、添加Si化合		添加焼成	リーク電	絶縁			
	添加量(mol%)	物形態			at 5V	at 20V	at 50V	耐圧 (V)
実施例51	PZT + Si 0.5%	2ーエチルヘキサン酸塩	アセチルアセトン	乾燥空気	$5.92 \times 10^{-7}$	2.91 × 10 <sup>-6</sup>	$1.91 \times 10^{-5}$	78.0
実施例52	PZT + Si 0.5%	2-エチル酪酸塩	アセチルアセトン	乾燥空気	$5.80 \times 10^{-7}$	2.88 × 10 <sup>-6</sup>	$1.95 \times 10^{-5}$	80.0
実施例53	PZT + Si 0.5%	エトキシゾ	アセチルアセトン	乾燥空気	$5.83 \times 10^{-7}$	$3.01 \times 10^{-6}$	$1.83 \times 10^{-5}$	78.5
実施例54	PZT + Si 0.5%	nーブトキシド	アセチルアセトン	乾燥空気	$5.85 \times 10^{-7}$	$2.85 \times 10^{-6}$	$1.79 \times 10^{-6}$	78.0
実施例55	PZT + Si 0.5%	アセチルアセトネート	アセチルアセトン	乾燥空気	$6.00 \times 10^{-7}$	$2.81 \times 10^{-6}$	$1.97 \times 10^{-5}$	79.0
実施例56	PZT + Si 1%	2ーエチルヘキサン酸塩	アセチルアセトン	乾燥空気	$3.69 \times 10^{-7}$	$6.53 \times 10^{-7}$	$3.28 \times 10^{-6}$	89.0
実施例57	PZT + Si 1%	2一エチル酪酸塩	アセチルアセトン	乾燥空気	$3.83 \times 10^{-7}$	$6.35 \times 10^{-7}$	$3.31 \times 10^{-6}$	87.5
実施例58	PZT + Si 1%	エトキシド	アセチルアセトン	乾燥空気	$3.85 \times 10^{-7}$	$6.41 \times 10^{-7}$	$3.41 \times 10^{-6}$	88.0
実施例59	PZT + Si 1%	nーブトキシド	アセチルアセトン	乾燥空気	$3.61 \times 10^{-7}$	$6.31 \times 10^{-7}$	$3.35 \times 10^{-6}$	88.0
実施例60	PZT + Si 1%	アセチルアセトネート	アセチルアセトン	乾燥空気	$3.75 \times 10^{-7}$	$6.61 \times 10^{-7}$	3.25 × 10 <sup>-6</sup>	89.0
実施例61	PZT + Si 3%	2-エチルヘキサン酸塩	アセチルアセトン	乾燥空気	2.48 × 10 <sup>-7</sup>	$4.25 \times 10^{-7}$	1.51 × 10 <sup>-6</sup>	96.0
実施例62	PZT + Si 3%	2一エチル酪酸塩	アセチルアセトン	乾燥空気	$2.51 \times 10^{-7}$	4.11 × 10 <sup>-7</sup>	1.38 × 10 <sup>-6</sup>	97.0
実施例63	PZT + Si 3%	エトキシド	アセチルアセトン	乾燥空気	$2.40 \times 10^{-7}$	4.08 × 10 <sup>-7</sup>	1.48 × 10 <sup>-6</sup>	95.5
実施例64	PZT + Si 3%	nープトキシド	アセチルアセトン	乾燥空気	$2.31 \times 10^{-7}$	$4.15 \times 10^{-7}$	1.43 × 10 <sup>-6</sup>	96.0
実施例65	PZT + Si 3%	アセチルアセトネート	アセチルアセトン	乾燥空気	$2.43 \times 10^{-7}$	$4.28 \times 10^{-7}$	1.33 × 10 <sup>-6</sup>	97.0
実施例66	PZT + Si 5%	2-エチルヘキサン酸塩	アセチルアセトン	乾燥空気	$2.51 \times 10^{-7}$	$2.86 \times 10^{-7}$	$7.35 \times 10^{-7}$	>99.5
実施例67	PZT + Si 5%	2-エチル酪酸塩	アセチルアセトン	乾燥空気	$2.53 \times 10^{-7}$	$2.73 \times 10^{-7}$	$7.26 \times 10^{-7}$	>99.5
実施例68	PZT + Si 5%	エトキシド	アセチルアセトン	乾燥空気	$2.45 \times 10^{-7}$	$2.69 \times 10^{-7}$	$7.21 \times 10^{-7}$	>99.5
実施例69	PZT + Si 5%	nーブトキシド	アセチルアセトン	乾燥空気	$2.50 \times 10^{-7}$	$2.80 \times 10^{-7}$	$7.32 \times 10^{-7}$	>99.5
実施例70	PZT + Si 5%	アセチルアセトネート	アセチルアセトン	乾燥空気	2.61 × 10 <sup>-7</sup>	$2.83 \times 10^{-7}$	$7.13 \times 10^{-7}$	>99.5
実施例71	PLZT + Si 0.5%	2-エチルヘキサン酸塩	アセチルアセトン	乾燥空気	7.25 × 10 <sup>-8</sup>	$2.13 \times 10^{-7}$	1.21 × 10 <sup>-6</sup>	85.0
実施例72	PLZT + Si 0.5%	2-エチル酪酸塩	アセチルアセトン	乾燥空気	7.31 × 10 <sup>-8</sup>	2.28 × 10 <sup>-7</sup>	1.26 × 10 <sup>-6</sup>	84.0
実施例73	PLZT + Si 0.5%	エトキシド	アセチルアセトン	乾燥空気	7.38 × 10 <sup>-8</sup>	2.05 × 10 <sup>-7</sup>	1.31 × 10 <sup>-6</sup>	85.0
実施例74	PLZT + Si 0.5%	nーブトキシド	アセチルアセトン	乾燥空気	7.35 × 10 <sup>-8</sup>	$2.30 \times 10^{-7}$	1.28 × 10 <sup>-6</sup>	84.5
実施例75	PLZT + Si 0.5%	アセチルアセトネート	アセチルアセトン	乾燥空気	7.40 × 10 <sup>-8</sup>	2.21 × 10 <sup>-7</sup>	1.09 × 10 <sup>-6</sup>	84.0
比較例 5	Non dope PZT(110/52/48)	_	アセチルアセトン	乾燥空気	8.52 × 10 <sup>-7</sup>	9.85 × 10 <sup>-4</sup>	2.16 × 10 <sup>-4</sup>	72.0
比較例 6	Non dope PLZT(110/3/52/48)	_	アセチルアセトン	乾燥空気	9.82 × 10 <sup>-8</sup>	4.82 × 10 <sup>-7</sup>	6.55 × 10 <sup>-6</sup>	71.5

表  $1 \sim$  表 3 及 び 図  $1 \sim$  図 7 から 明らかなように、 S iを含まない比較 例 1 , 3 , 5 の P Z T 強誘電体薄膜に比べて、 S iを添加した実施 例  $1 \sim 2$  0 , 2 6  $\sim$  4 5 , 5  $1 \sim 7$  0 の P Z T 強誘電体薄膜では、 y y y y 電流密度の低減と同時に絶縁耐圧の向上が確認された。

## [0085]

また、Laを含む比較例2,4,6のPLZT強誘電体薄膜と、SiをLaと同時に含む実施例21~25,46~50,71~75のPLZT強誘電体薄膜の比較でも、同様の傾向を示した。

## [0086]

これらの結果から、実施例 1 ~ 7 5 の強誘電体薄膜は、リーク電流密度と絶縁耐圧に優れた効果を有していることが判った。また、実施例 1 ~ 7 5 の強誘電体薄膜を、比較例 1

10

20

30

~6の強誘電体薄膜と同程度のリーク電流密度の水準とする場合には、更なる薄膜化が可能となり、薄膜化することで、より高い比誘電率が得られるという利点を有する。また、使用する原材料を低減できるという利点も有する。

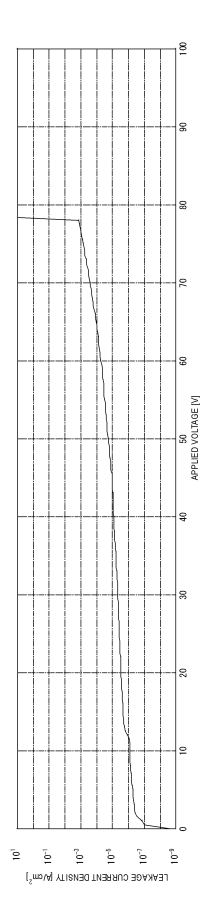
## 【産業上の利用可能性】

## [0087]

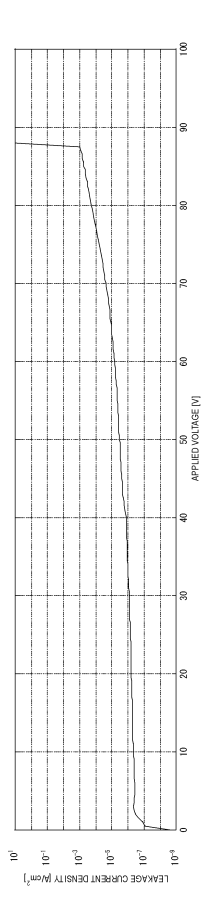
本発明の強誘電体薄膜形成用組成物、強誘電体薄膜の形成方法並びに該方法により形成された強誘電体薄膜は、キャパシタとしての基本的特性に優れ、高密度、高絶縁破壊耐圧のキャパシタに利用可能である。その他、IPDとしての基本的特性にも優れ、IPD、DRAMメモリ用コンデンサ、積層コンデンサ、トランジスタのゲート絶縁体、不揮発性メモリ、焦電型赤外線検出素子、圧電素子、電気光学素子、アクチュエータ、共振子、超音波モータ、又はLCノイズフィルタ素子等の複合電子部品に利用が可能である。

10

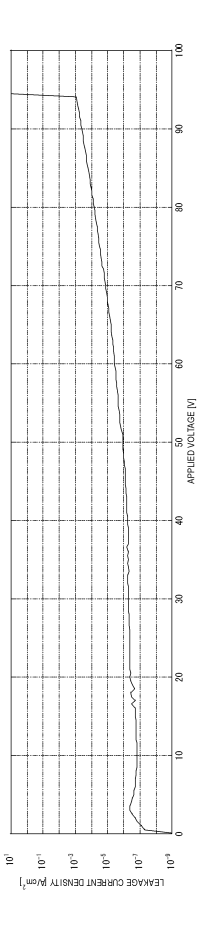
## 【図1】



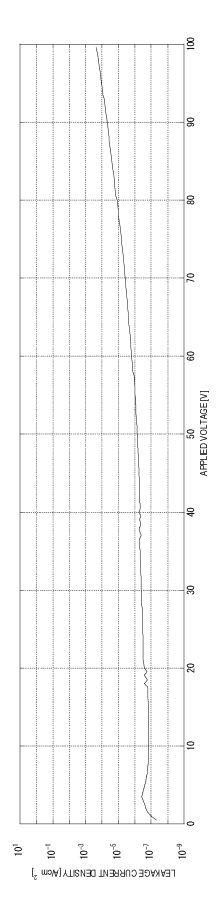
【図2】



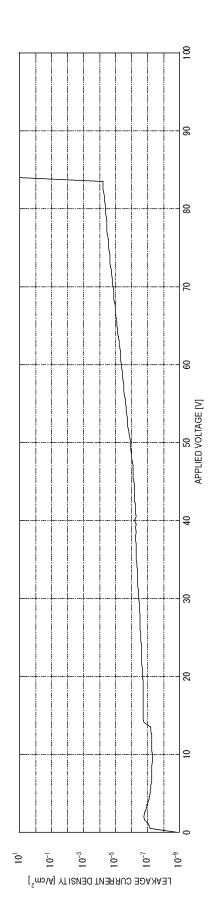
【図3】



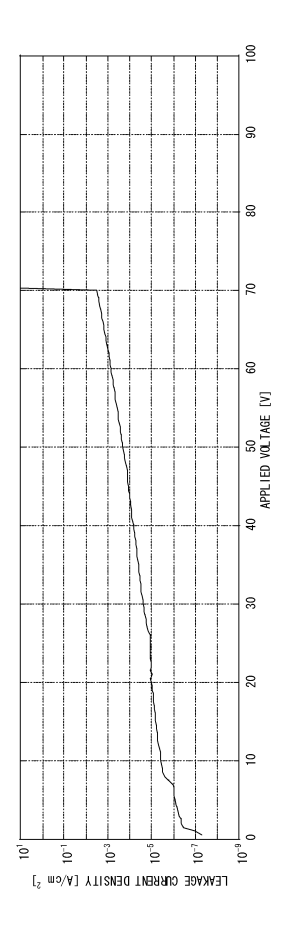
【図4】



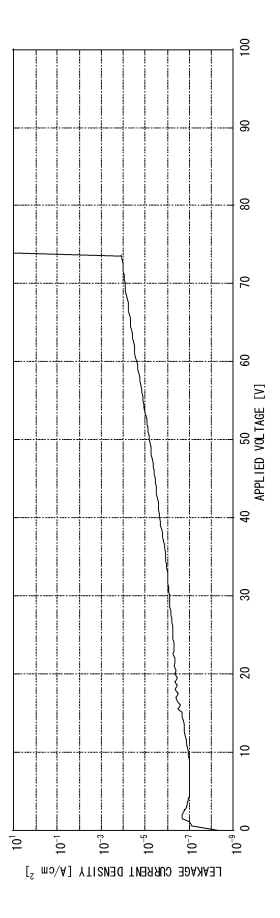
【図5】



【図6】



# 【図7】



## フロントページの続き

(51) Int.CI.			FΙ		
H 0 1 L	41/18	(2006.01)	H 0 1 L	27/04	C
H 0 1 L	41/23	(2013.01)	H 0 1 L	21/316	В
H 0 1 L	21/822	(2006.01)	H 0 1 L	21/316	Р
H 0 1 L	27/04	(2006.01)	H 0 1 G	4/12	3 9 7
H 0 1 L	21/316	(2006.01)	H 0 1 G	4/06	102
H 0 1 G	4/12	(2006.01)	H 0 1 B	3/12	3 0 1
H 0 1 G	4/33	(2006.01)	H 0 1 B	3/12	3 3 6
H 0 1 B	3/12	(2006.01)	H 0 1 B	3/00	F
H 0 1 B	3/00	(2006.01)	H 0 1 B	3/12	3 0 2

## (72)発明者 曽山 信幸

兵庫県三田市テクノパーク12-6 三菱マテリアル株式会社 三田工場内

## 審査官 植前 充司

 (56)参考文献
 特開平05-085704(JP,A)

 特開2003-002647(JP,A)

 特開2005-101491(JP,A)

 国際公開第99/25014(WO,A1)

## (58)調査した分野(Int.CI., DB名)

C 0 1 G 2 5 / 0 0 C 0 1 G 23/00 H 0 1 B 3/00 H 0 1 B 3/12 H 0 1 G 4/12 4/33 H 0 1 G 21/316 H 0 1 L H 0 1 L 21/822 21/8242 H 0 1 L H01L 21/8246 27/04 H 0 1 L H 0 1 L 27/105 H01L 27/108 H 0 1 L 41/18 H01L 41/23 C 2 3 C 24/00